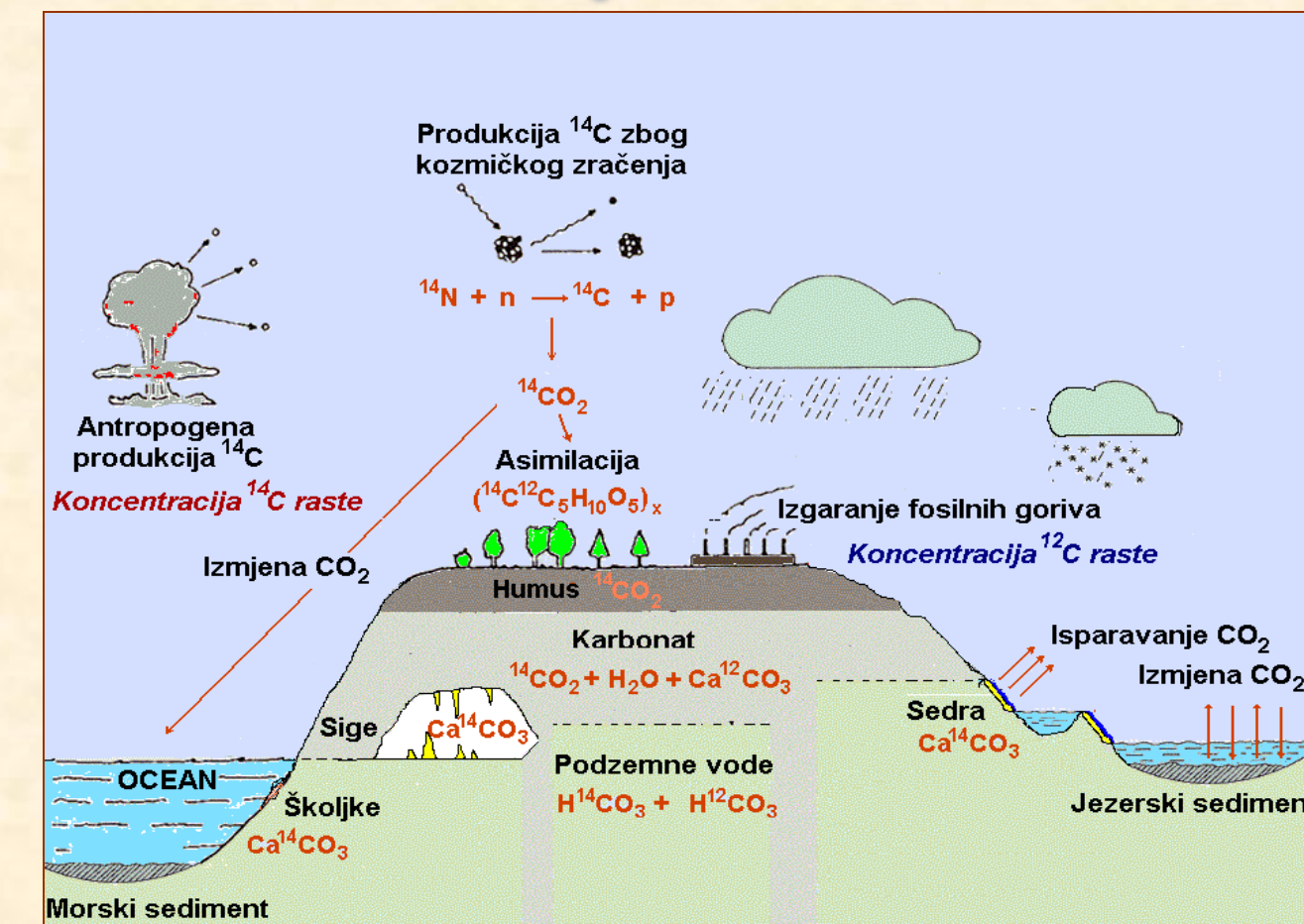
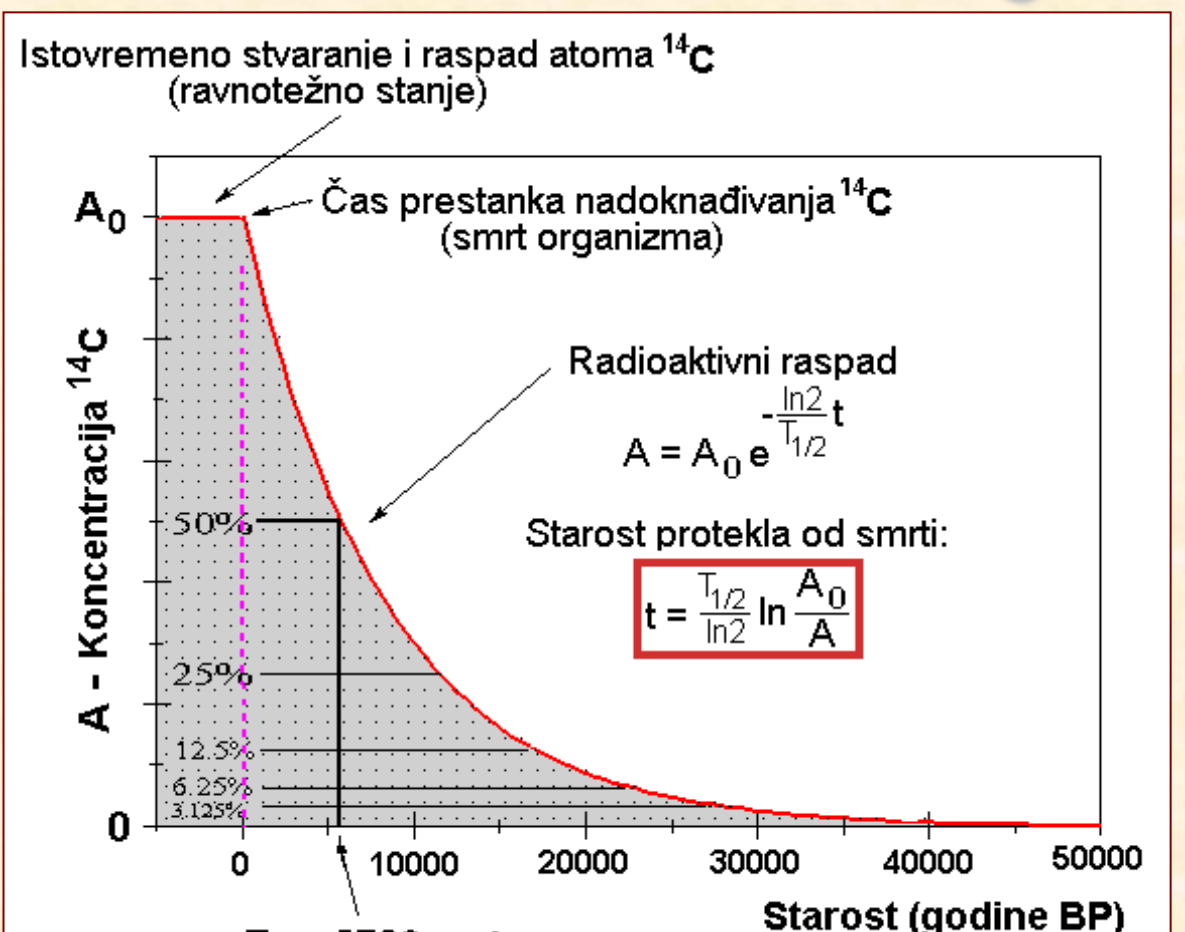


Radioaktivni ugljik ^{14}C u arheologiji, geologiji i istraživanju okoliša

Princip metode ^{14}C datiranja



Producija ^{14}C i njegova raspodjela u prirodi



Radioaktivni raspad ^{14}C
 $^{14}\text{C} \rightarrow ^{14}\text{N} + \beta^- + \nu$

Koncentracija aktivnosti ^{14}C u atmosferi je konstantna zbog ravnoteže između prirodne produkcije (djelovanje kozmičkog zračenja) i radioaktivnog raspada. Ugljik se veže u CO_2 i ulazi u životni ciklus, pa je u živim biljkama i životinjama koncentracija ^{14}C jednaka onoj u atmosferi. Nakon smrti organizma prestaje nadoknadivanje atoma ^{14}C , te se njihova aktivnost smanjuje prema zakonu radioaktivnog raspada (lijevo) uz vreme poliraspada od 5730 godina. Ovom metodom se može mjeriti starost organskih uzoraka i sekundarnih karbonata do oko 50 000 godina.

Prije usvojenoj konvenciji rezultati mjerena starosti se izražavaju u godinama prije 1950. ($\text{BP} = \text{Before Present}$).

Uređaji



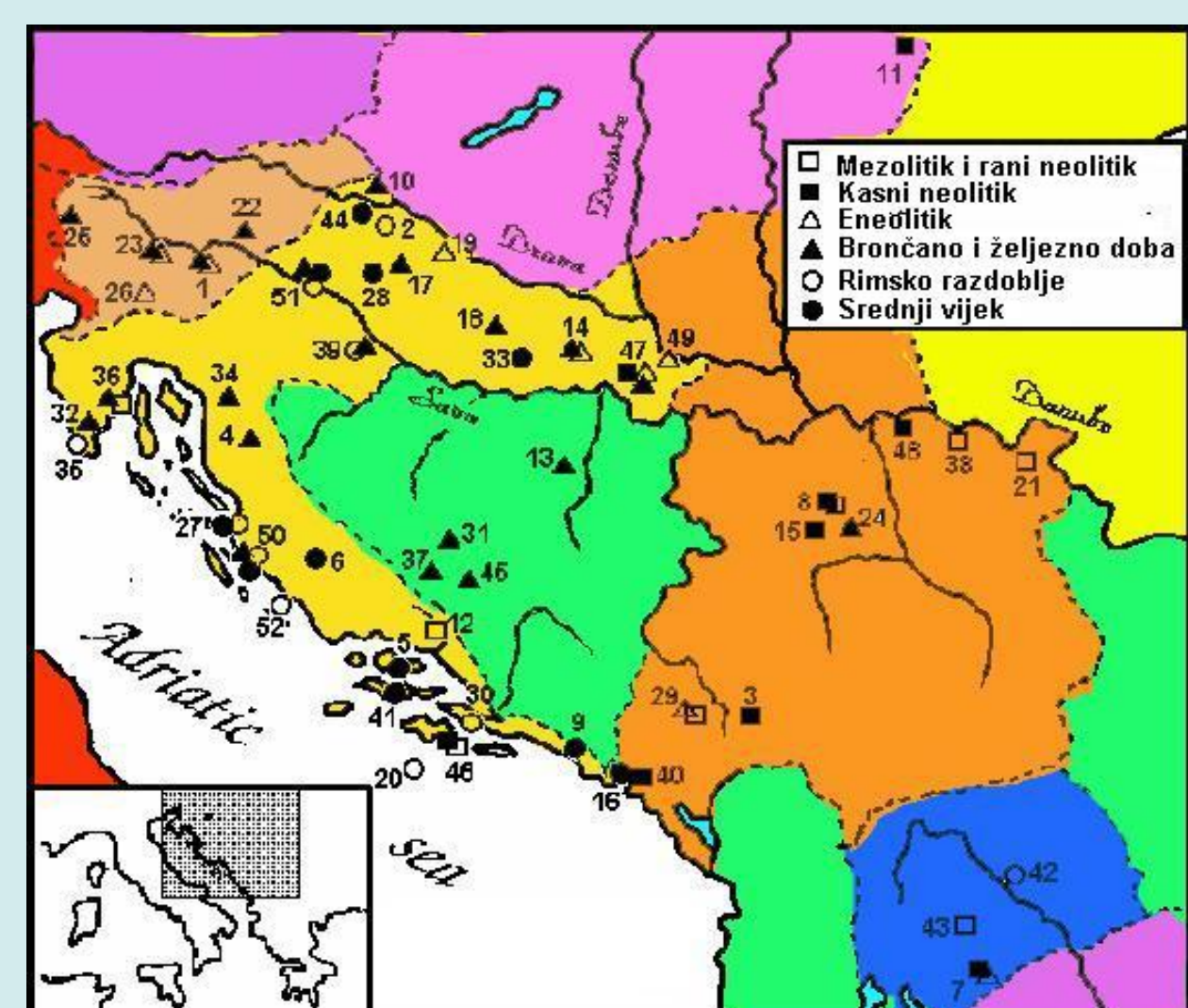
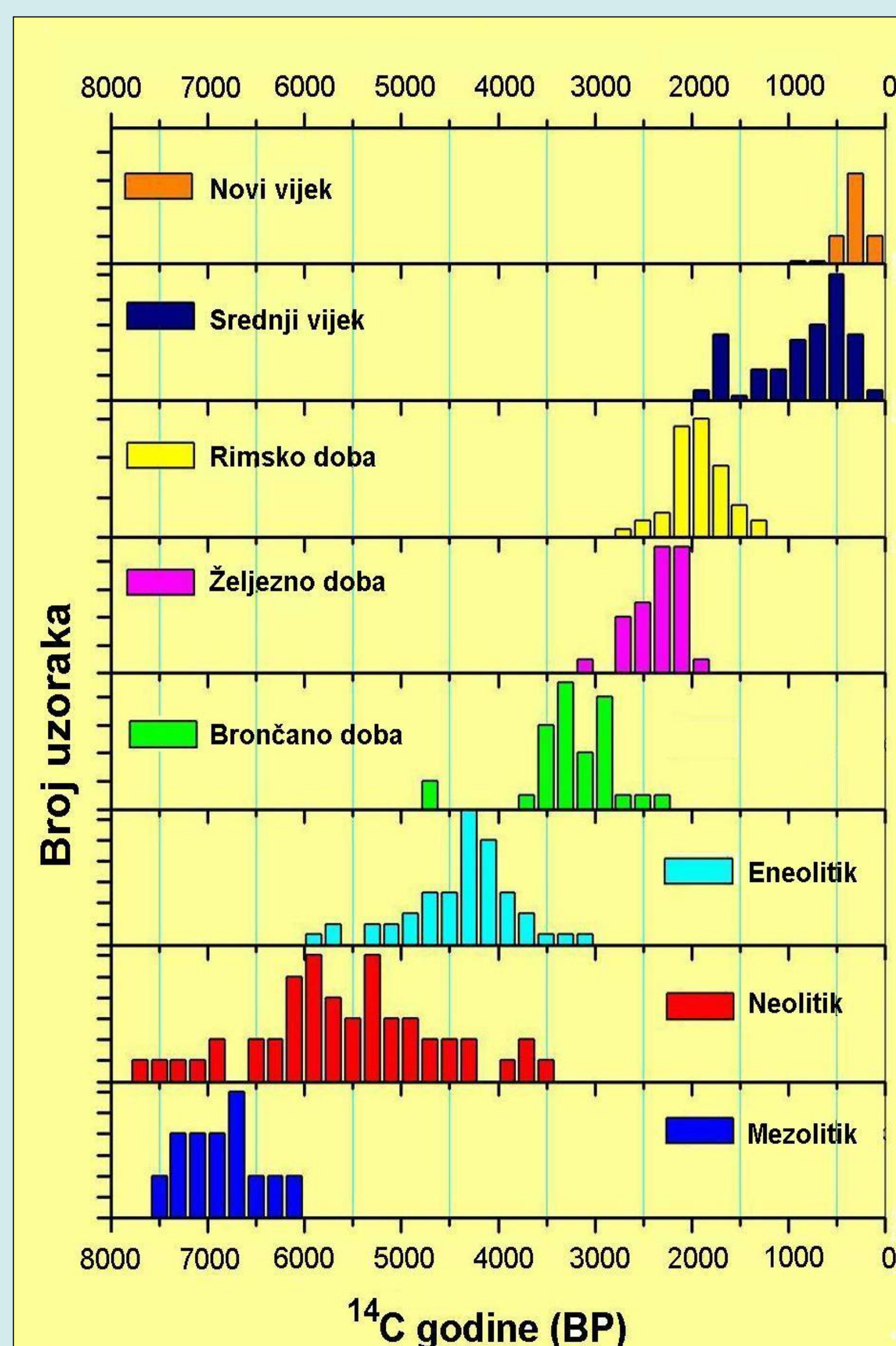
Vakuumski linija za kemijsku pripremu uzorka



Tekuciinski scintilacijski brojač Quantulus 1220 za mjerjenje aktivnosti ^{14}C

Arheologija

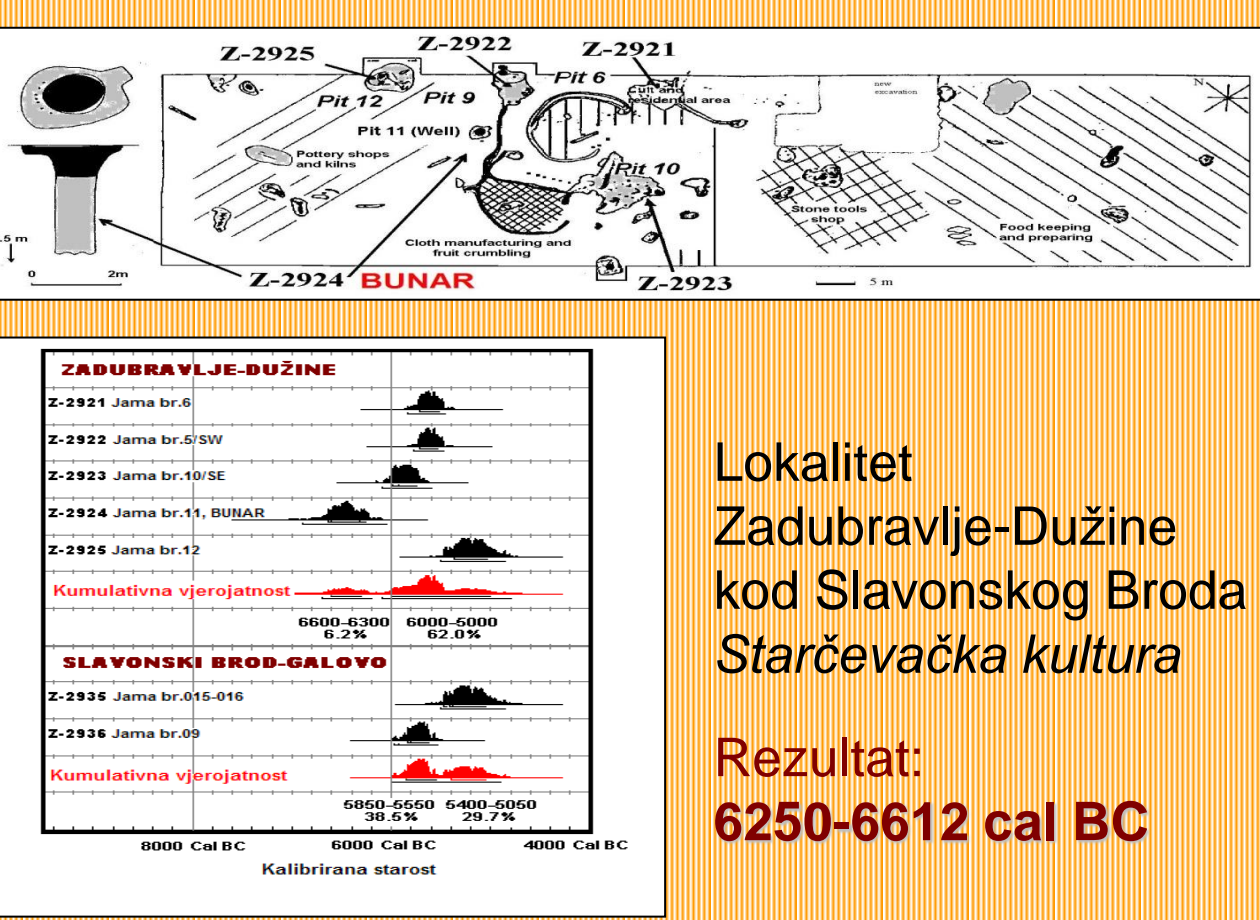
Arheološki lokaliteti datirani metodom ^{14}C tijekom proteklih 40 godina. Raspodjela starosti pojedinih razdoblja (lijevo); položaj važnijih lokaliteta na mapi (dolje). Na desnoj strani su prikazani rezultati datiranja nekih interesantnijih objekata.



Eneolitik (bakreno doba)



Neolitik Datiranje najstarijeg bunara u Evropi



Lokalitet
Zadubravlje-Dužine kod Slavonskog Broda Starčevačka kultura

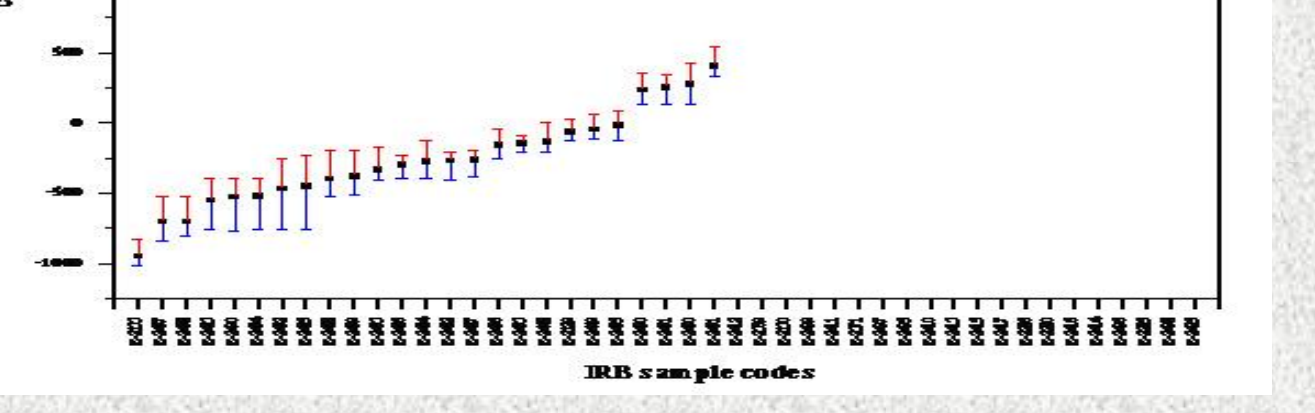
Rezultat:
6250-6612 cal BC

Željezno doba i srednji vijek

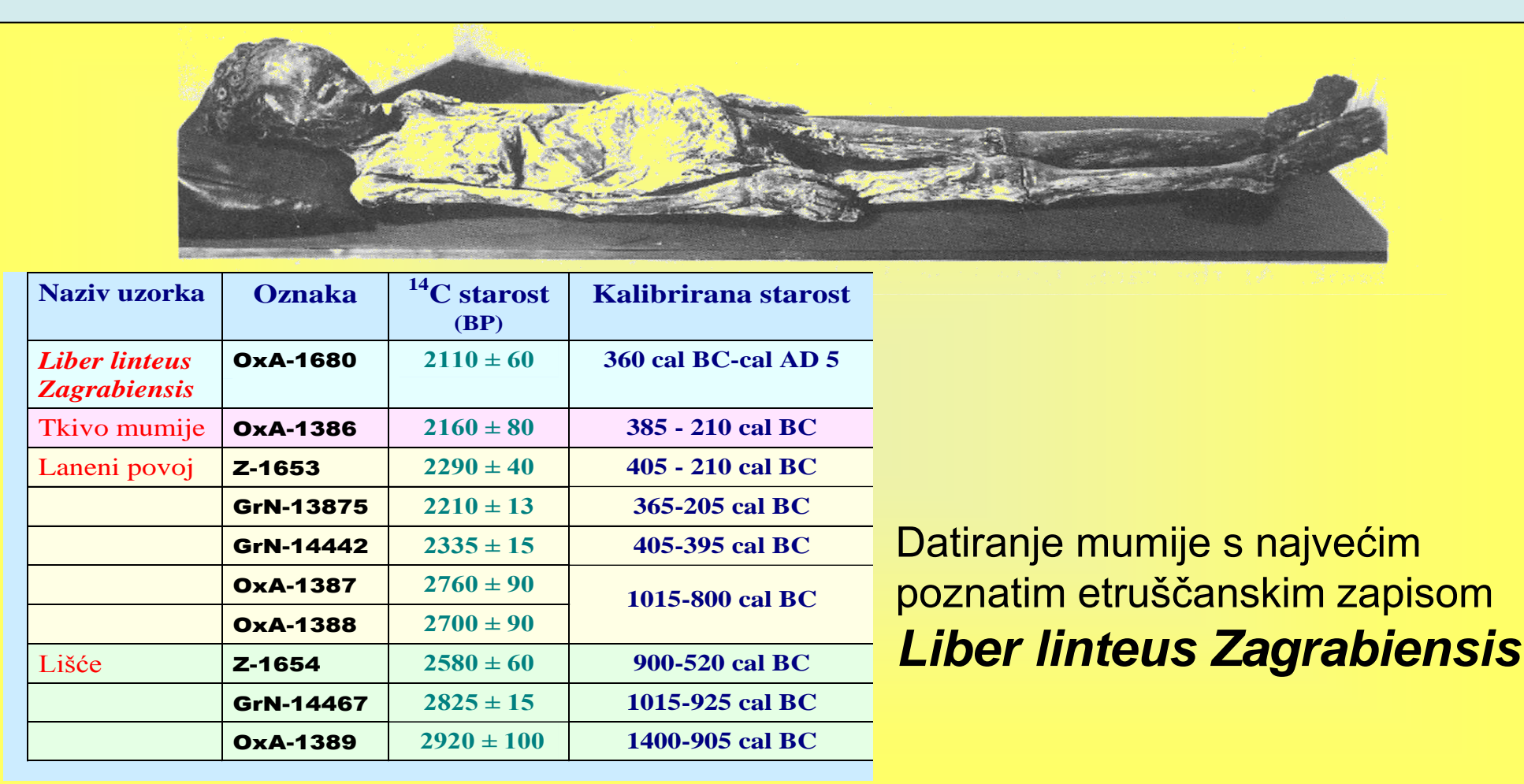
Rekonstrukcija Muzeja grada Zagreba (bivši samostan Klarisa)
Datiranje nalaza iz podruma zgrade



Temelji drvenih zidina starog Grča iz 12. stoljeća



Egipatska mumija iz Arheološkog muzeja u Zagrebu

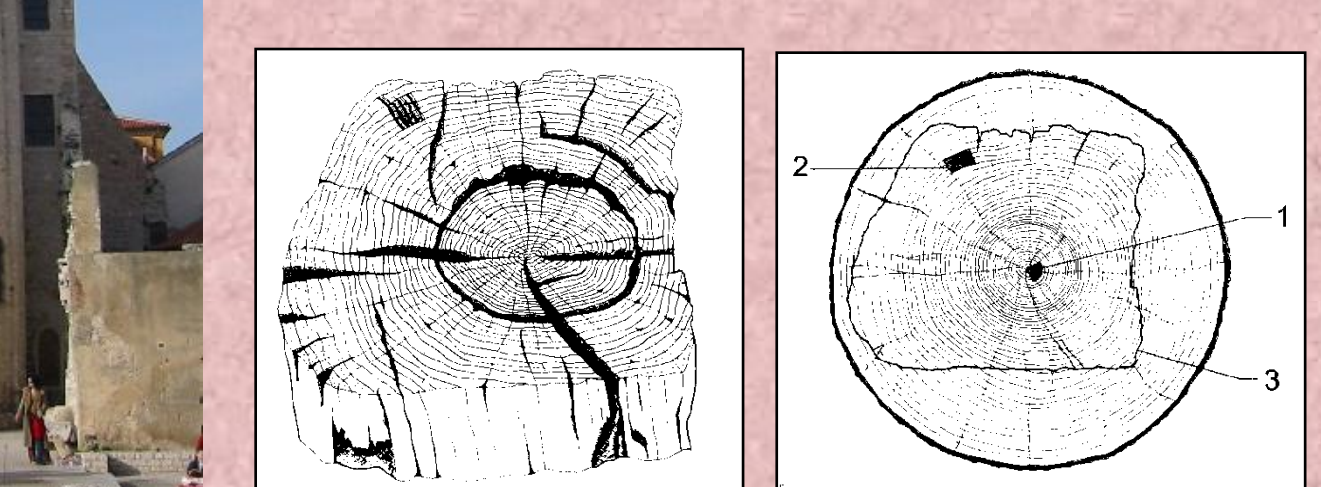


Datiranje mumije s najvećim poznatim etruščanskim zapisom
Liber linteus Zagrabiensis

Rani srednji vijek

Crkva Sv. Donata u Zadru
Datiranje greda iz poda matroneja

Rezultat: AD 710 - 760



Srednji vijek i turska uprava

Stari most u Mostaru; datiranje raznih faza gradnje mosta

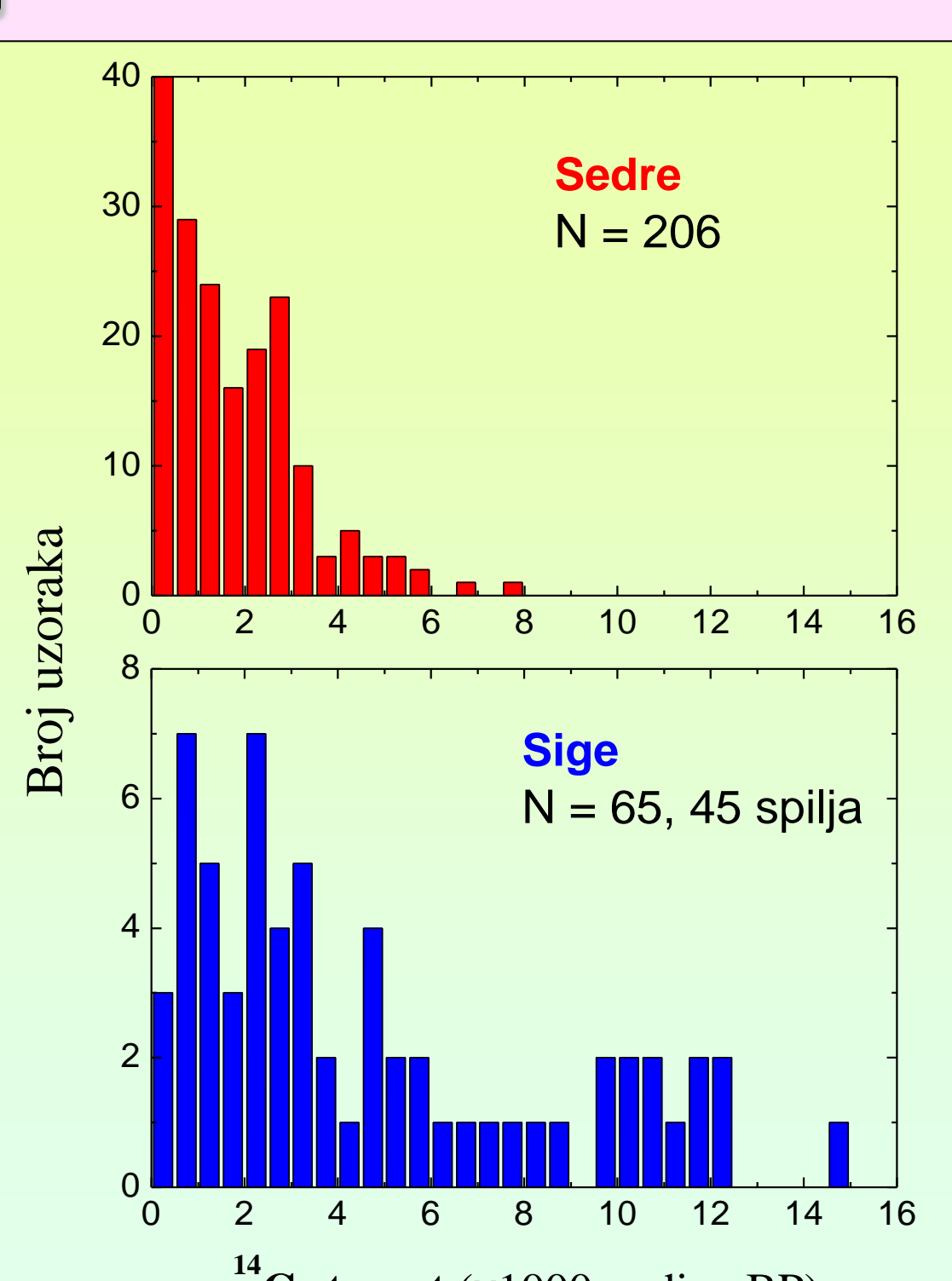


Kalibrirani ^{14}C rezultati i usporedba s dendrokronološkom datiranjem zadnje godine rasta drveta (●)

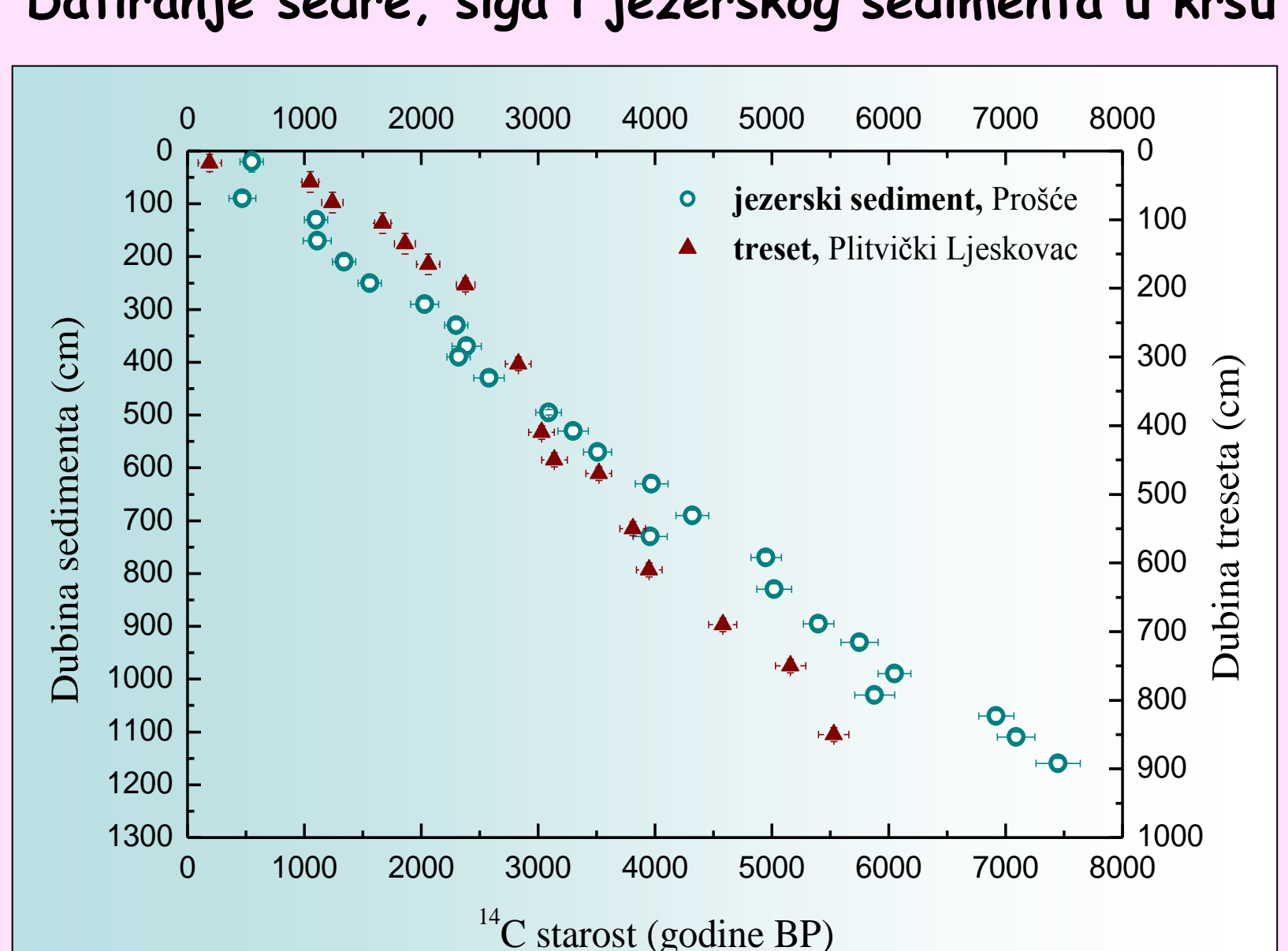
Geokronologija i paleoklimatologija



Datirani su sedreni slapovi, jezerski sediment i treset u Nacionalnom parku Plitvička jezera, sedra na rijekama Krki, Zrmanji i Krupi, te sige iz raznih spilja u Hrvatskoj i Sloveniji



Datiranje sedre, sige i jezerskog sedimenta u kršu

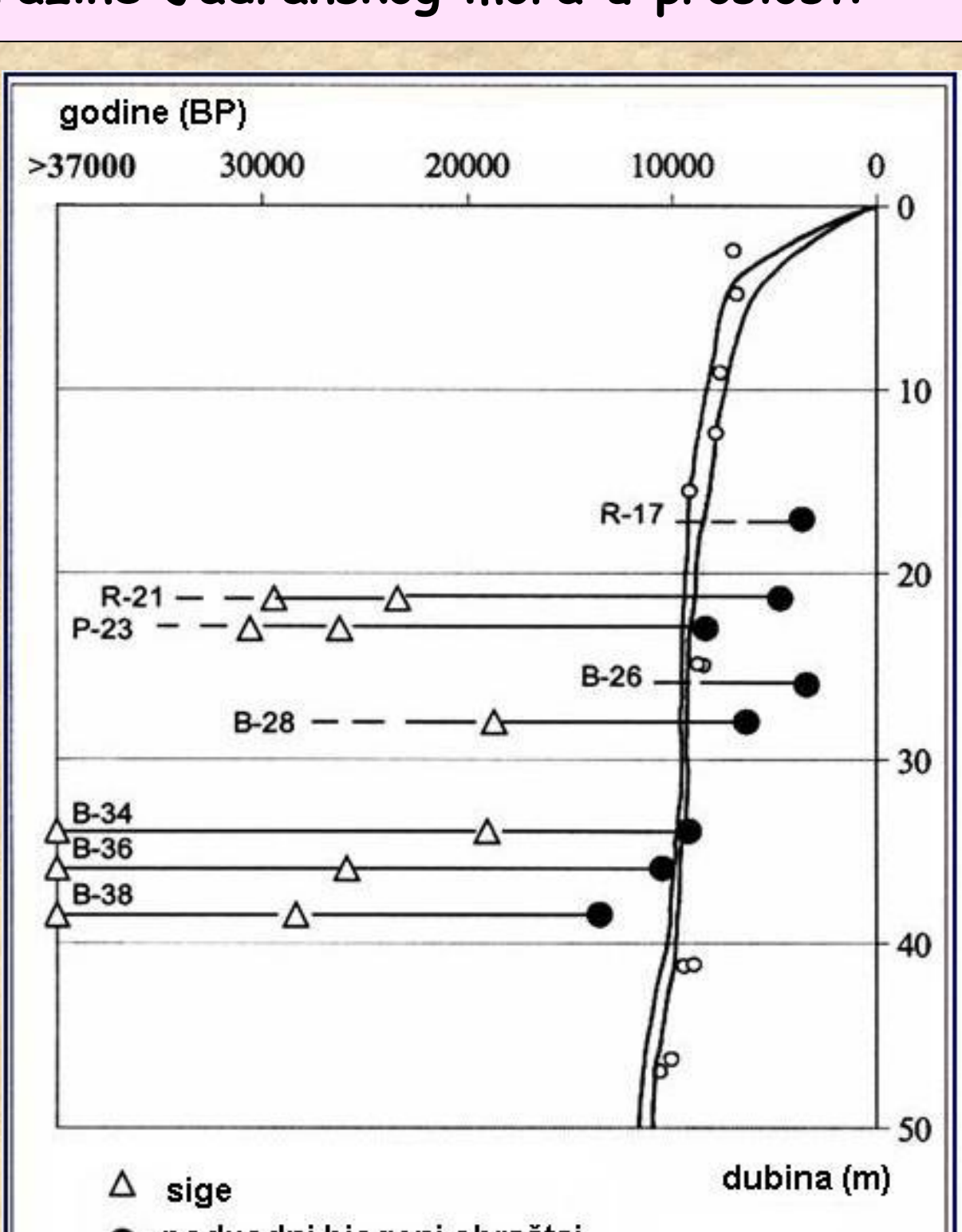


Vremenska razdoblja taloženja sedre i sige (lijevo), te jezerskog sedimenta i treseta (gore) odgovaraju periodu zadnjeg interglacijskog (Holocen)

Određivanje promjene razine Jadranskog mora u prošlosti

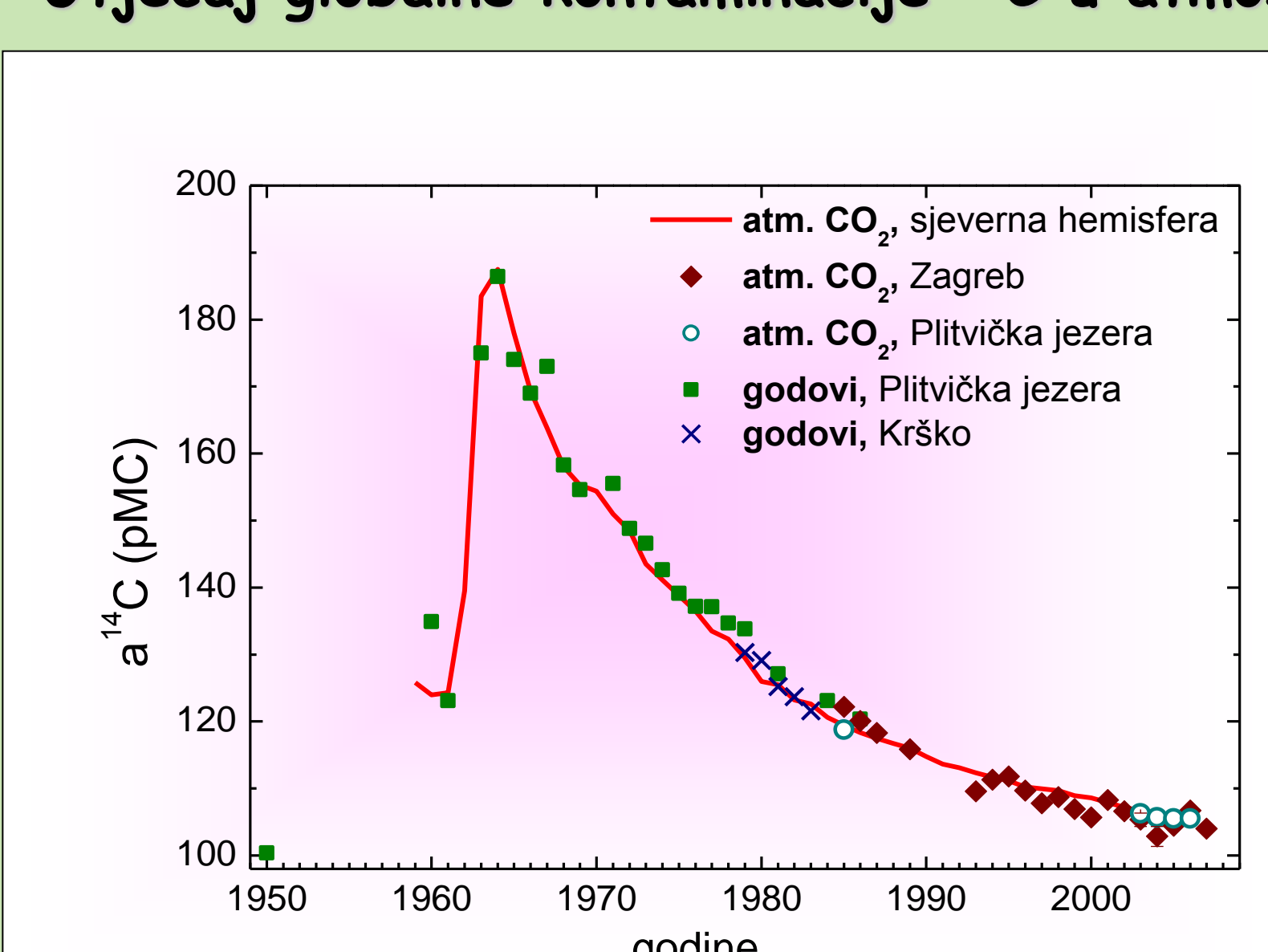


^{14}C datiranje sige iz podvodnih spilja (Brač, Rogoznica, Pag). Podaci se koriste za određivanje promjene razine mora

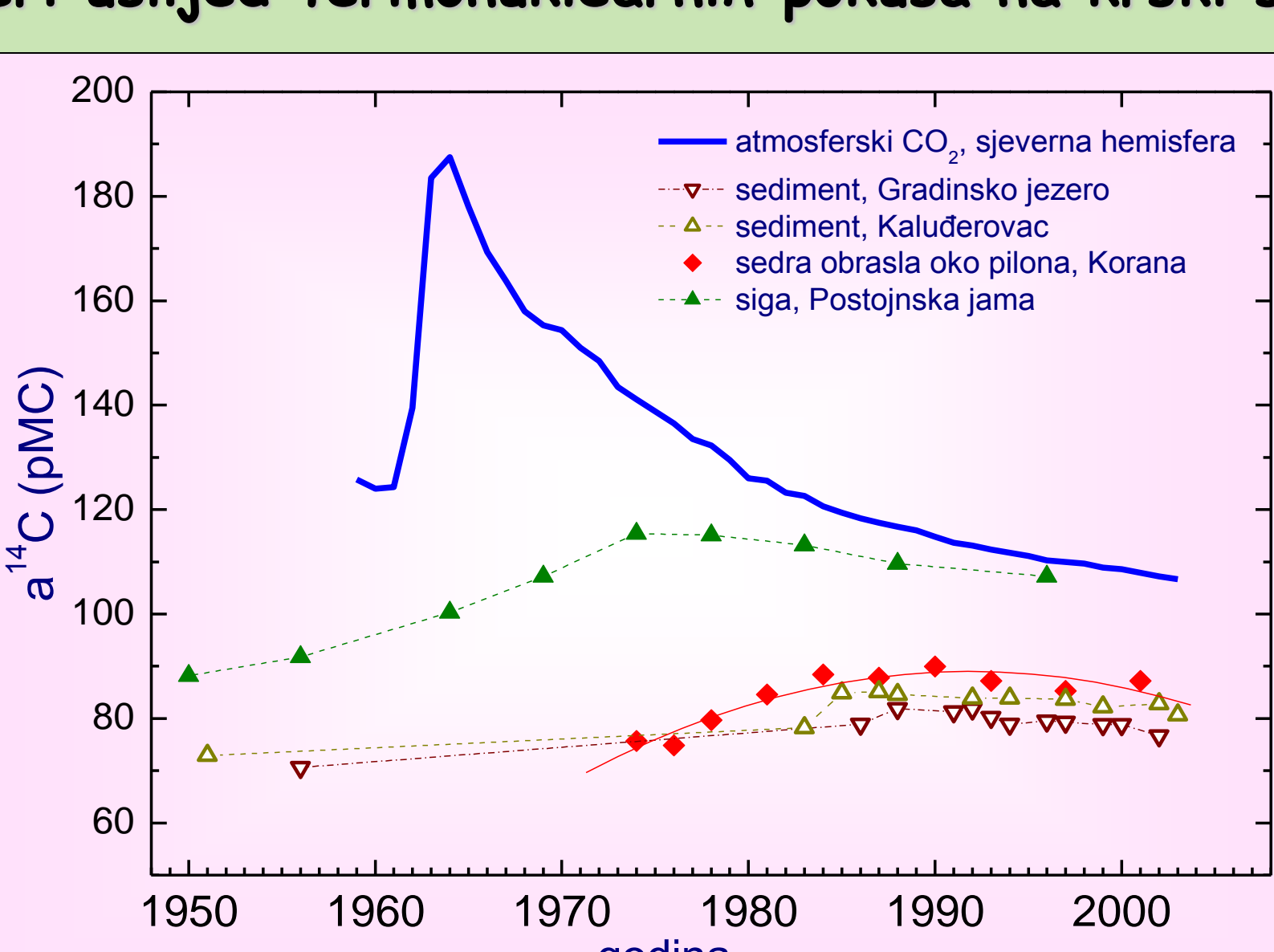


Istraživanja okoliša

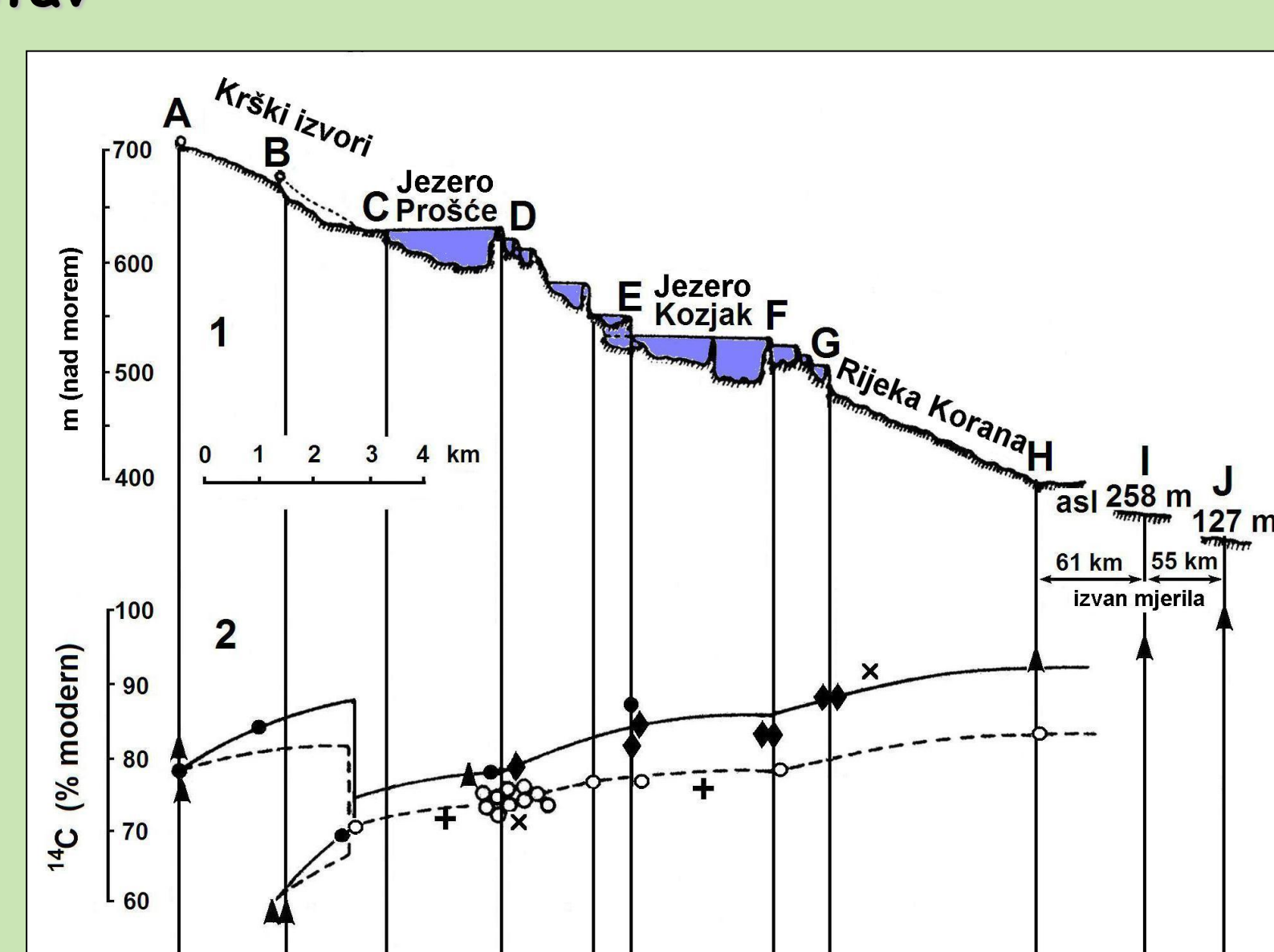
Utjecaj globalne kontaminacije ^{14}C u atmosferi uslijed termonuklearnih pokusa na krški sustav



Povišenje prirodne ^{14}C aktivnosti u XX. stoljeću zbog nuklearnih pokusa u atmosferi. Maksimum je 1963. godine, no nakon zabrane pokusa se smanjuje

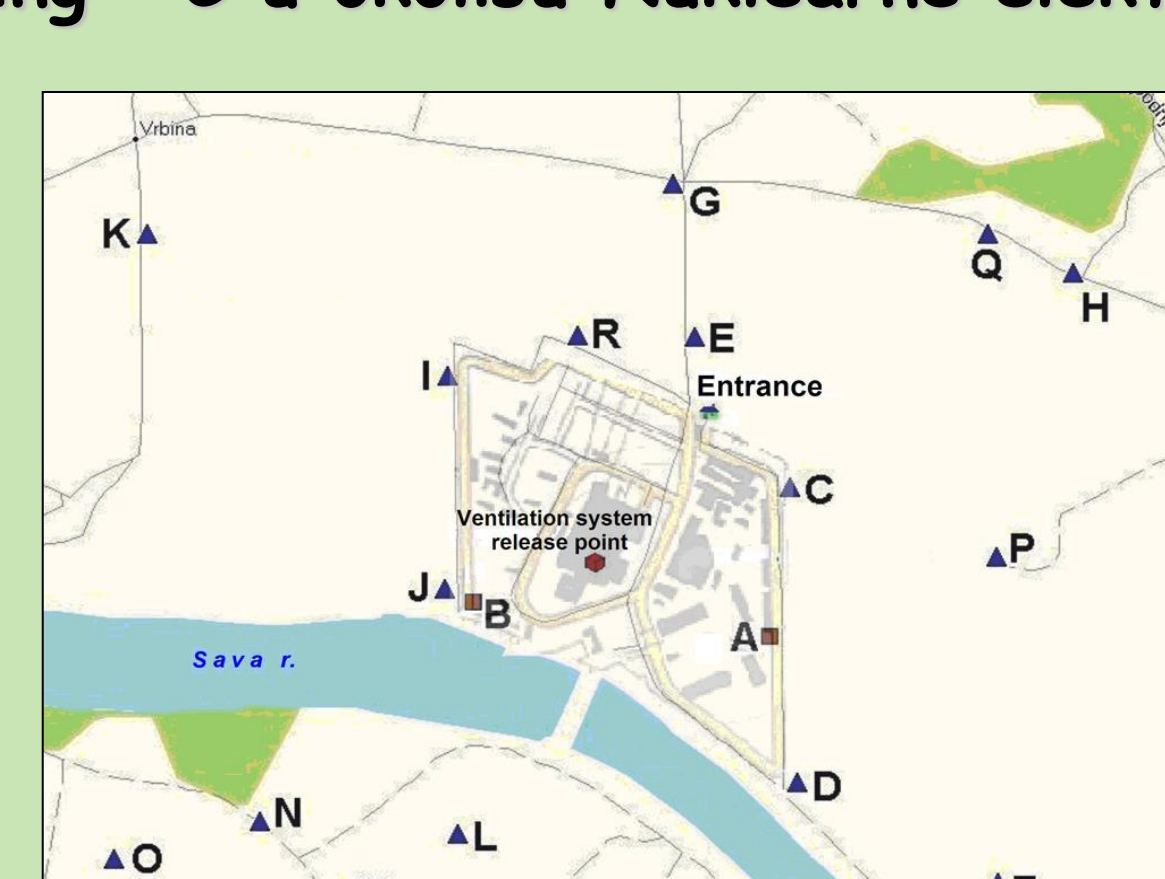


Utjecaj globalne kontaminacije ^{14}C u atmosferskom CO2 na površinski sloj sedimenata i sedre sa Plitvičkih jezera, te sige iz Postojnske jame

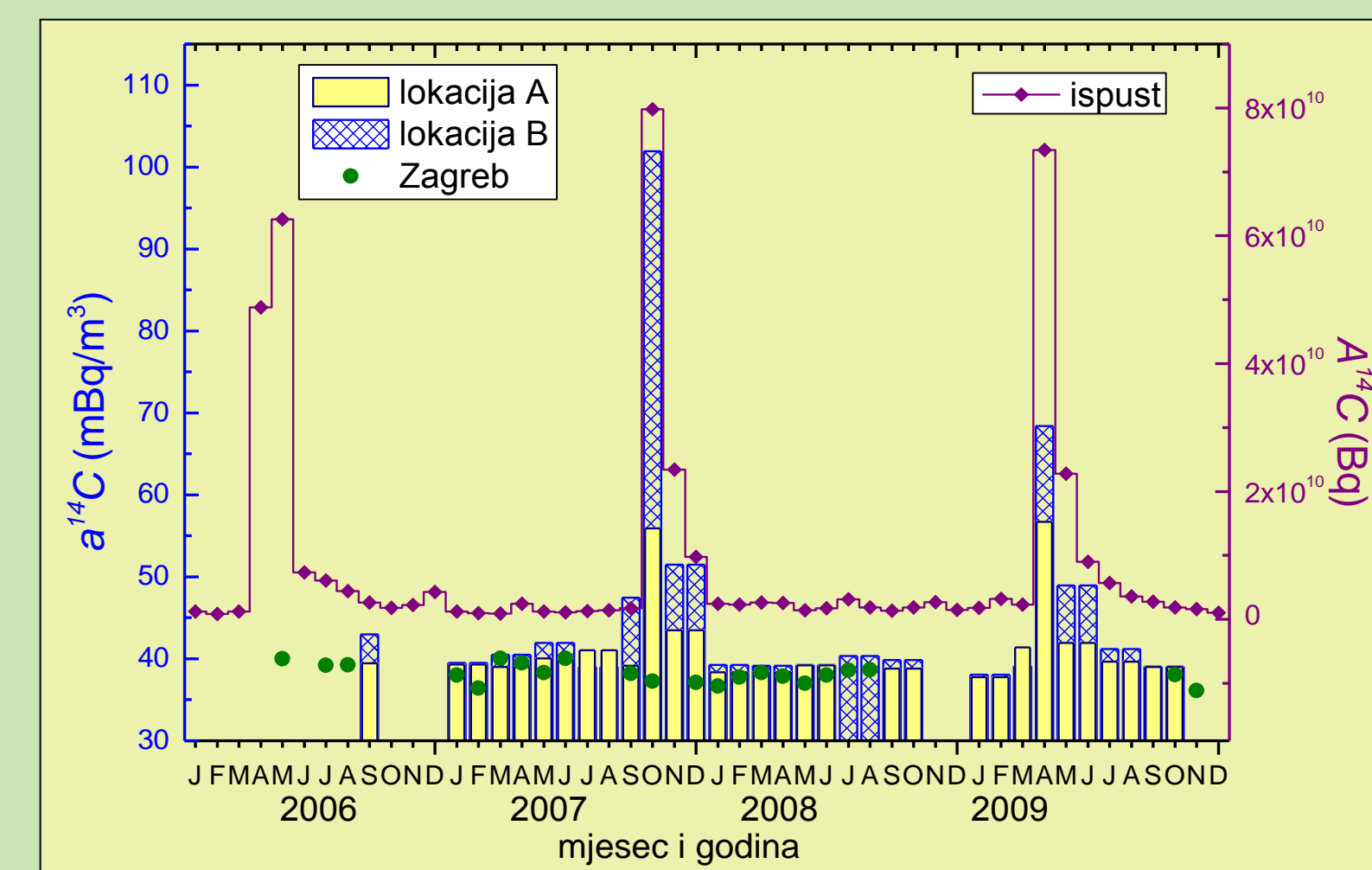


Porast ^{14}C aktivnosti u bikarbonatu u vodi uslijed izmjene s atmosferskim CO2 duž toka Plitvičkih jezera

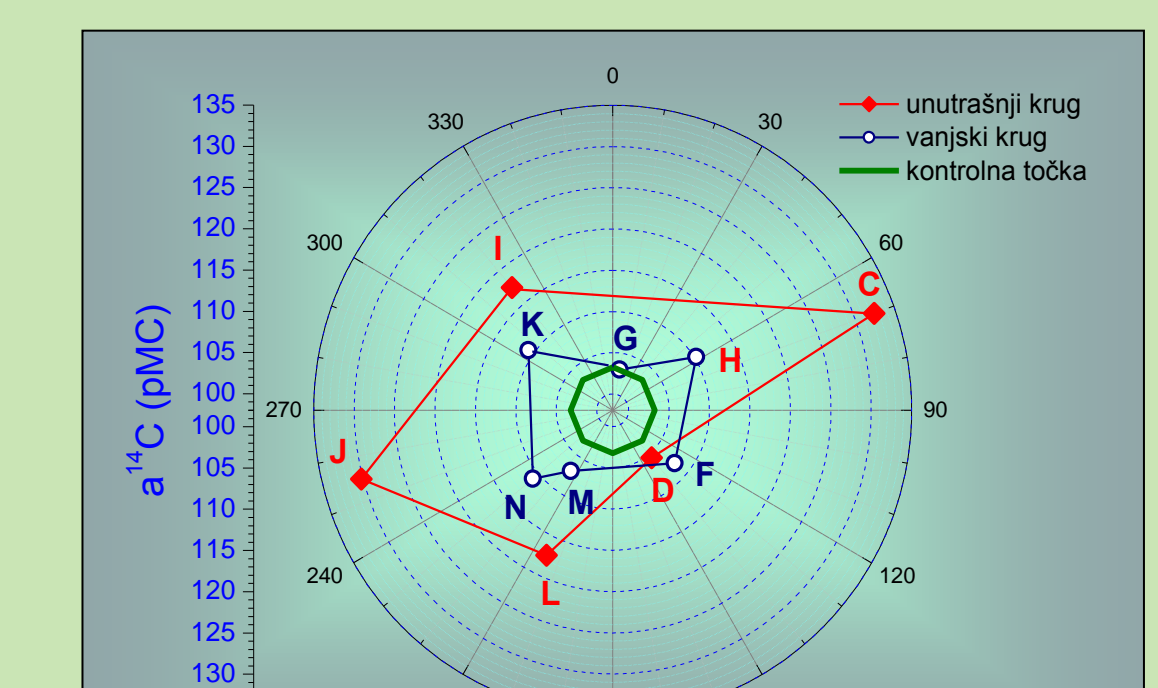
Monitoring ^{14}C u okolišu Nuklearne elektrane Krško



Lokacije za uzorkovanje u blizini Nuklearne elektrane: A i B uzorci atmosferskog CO2; C - biološki uzorci

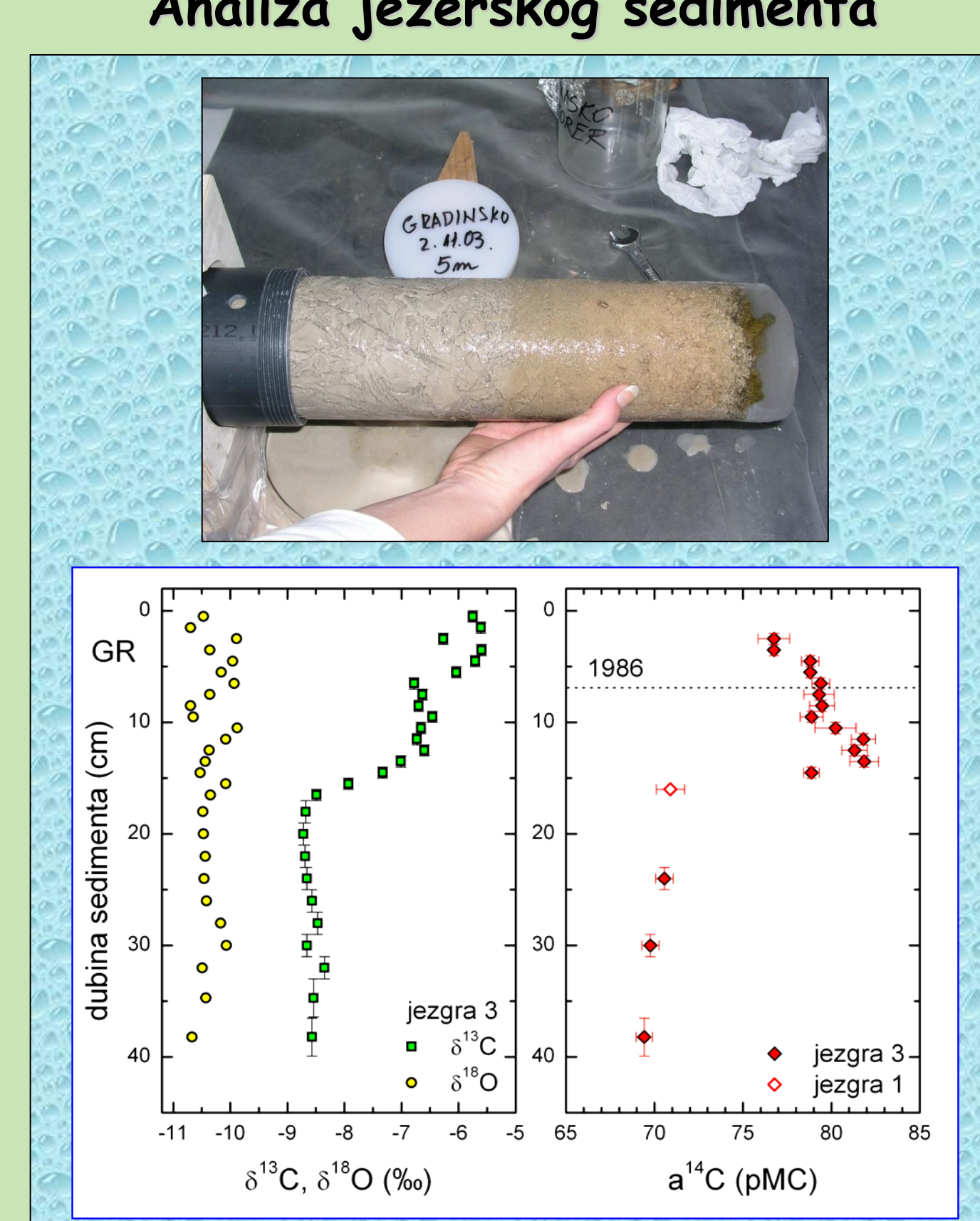


Usporedba koncentracije ^{14}C aktivnosti u atmosferskom CO2 na lokacijama A i B, te rezultata dobivenih u Zagrebu (lijeva ordinata) s aktivnošću ispuštenog ^{14}C iz ventilacije nuklearke (desna ordinata)



Polarni graf aktivnosti ^{14}C u bilju na lokacijama unutrašnjeg kruga (200-400 m od dimnjaka) i vanjskog kruga (oko 1000 m od nuklearke), uzetih u ljetu nakon remonta (lijevo) i u godini kada nije bilo remonta (desno)

Analiza jezerskog sedimenta



Raspodjela stabilnih izotopa ^{13}C i ^{18}O , te aktivnosti ^{14}C duž površinskog profila sedimenta Gradinskog jezera na Plitvičkim jezerima. Porast aktivnosti ^{14}C u gornjem sloju profila odražava globalnu kontaminaciju atmosfere